

## تقدير القيم العظمى لمقادير الهزات الأرضية في ليبيا

باستخدام نظرية القيم القصوى

د. كمال ناجي العباس

د. مصطفى عبد الجيد المصراي

قسم الإحصاء / كلية العلوم

جامعة الفاتح

## الخلاصة:

استخدمت نظرية القيم القصوى لتقدير قيم الزلازل العظمى في ليبيا التي تقع على خطي طول (8° - 26° شرقاً) وخطي عرض (18° - 34° شمالاً) تم استخدام بيانات الرصد الزلزالي للفترة (1960-2000) لتقدير علاقة مقدار الزلازل بتكرار الحدوث وكذلك تقدير معامل توزيع جيب للقيم العظمى واستخدام تلك النتائج لتحديد دورة حدوث الزلازل لمقدار زلزالي معين وتقدير مخاطر حدوث مقادير الزلازل التصميمية.

1- المقدمّة :- إن الاستخدام الهندسي للبيانات الزلزالية هو إيجاد علاقات إحصائية لتقدير معدل حدوث الزلازل في منطقة جغرافية معينة و كذلك تقدير مخاطر حدوث الزلازل لتصاميم هندسية مختلفة . جيب (1956) أول من استخدم نظرية القيم القصوى لتقدير مخاطر حدوث بعض الظواهر الطبيعية مثل تدفقات المياه و درجات الحرارة القصوى . يعود تطبيق نظرية القيم القصوى لتقدير قيم الزلازل العظمى إلى نورد كوست (1945) الذي استطاع جلب اهتمام الباحثين في مختلف مناطق العالم

إجراء مثل هذه الدراسة و إلى مختلف الفترات الزمنية (مثل لومبتز 1966 ويو كلاب و كور 1974 و بورتون 1979 و كميل و بيرتون 1982 و فهمي و الهباسي 1990). في هذا البحث تم استخدام توزيع جميل لتقدير توزيع قسَم الزلزال العظمى والمدة الزمنية الكافية لعودة حدود الزلزال في المنطقة الجغرافية المحددة والتي تتضمن الحدود السياسية لليبيا و المناطق المجاورة لها . إن الطريقة المستخدمة ليست جديدة إلا أن النتائج التي تم التوصل إليها تعتبر تقديرات أساسية لتقدير مخاطر الزلزال في ليبيا . إن هذه النتائج تمثل حجر الأساس لمسار تقدير معالم تصميم الهندسة الزلزالية في ليبيا .

## 2- النشاطات الزلزالية وملف الهزات الأرضية:

ليبيا موقع مقبول المستوى في نشاط الهزات الأرضية . حيث تم رصد وتسجيل أكثر من 180 هزة أرضية في المنطقة الجغرافية (8-26 شرقاً) و (18-34 شمالاً) منذ عام 1960 و لغاية عام 2000 . الملف الزلزالي يعتمد في الأساس على تسجيلات الشبكة الدولية للزلزال و يشمل بيانات تمثل تاريخ و وقت حدوث الزلزال و عمق و مقدار الزلزال . و على الرغم من انه لا توجد محاولة للتأكد من تكامل الملف الزلزالي لليبيا لحد الآن (هناك محاولة من قبل الباحث و المشكلة قيد الدراسة) إلا أن الملف يقترب من التكمال للهزات الأرضية ذات المقدر  $M_s < 3.8$  بعد عام 1960 . بسبب قدرة الأجهزة الحديثة على تسجيل الهزات الأرضية ذات المقادير الكبيرة بصورة أساسية و انتشار تلك الأجهزة بشكل واسع منذ عام 1960 من قبيل شبكة الرصد الزلزالي الدولية .

## 3- العلاقة بين مقدار الزلزال والتردد الزلزالي :

من المعروف أن الهزات الأرضية ليست مستقلة و لكن تميل إلى التجمع في المكان والزمان . فغوتنبرغ و ريختر ( 1954 ) وجدوا أن لوغاريتم عدد الهزات الأرضية من المقدار أكبر من أو يساوي  $M_s$  يمثل خطأ مستقيماً مع المقدار الزلزالي . و النموذج

الرياضي يعبر عنه كما يلي:

$$\log N_c(M_s) = a - b M_s \quad (1)$$

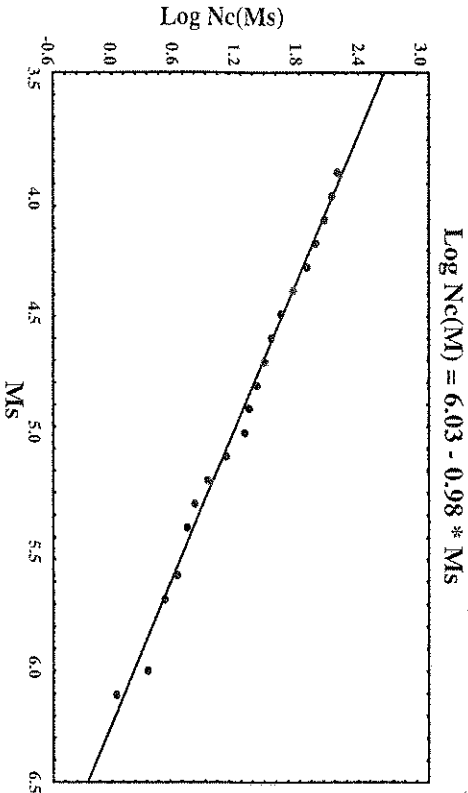
حيث إن قيم الثوابت  $a, b$  تمثل نشاط المنطقة الزلزالية .

باستخدام طريقة المربعات الصغرى الإحصائية تم تقدير علاقة تردد حدوث الهزات الأرضية من المقدار أكبر من أو يساوي المقدار  $M_s$  والمقدار الزلزالي لمنطقة الدراسة ابتداء من المقدار  $M_s = 3.8$  و تساوي :

$$\log N_c(M_s) = 6.03 - 0.98 M_s \quad (2)$$

وإن معامل التحديد يساوي 0.97 الشكل رقم (1) يوضح نموذج الانحدار الذي تم

تقديره والملاحظات الفعلية



شكل رقم (1) علاقة تكرار الهزات الأرضية التجميعية بالمقدار الزلزالي.

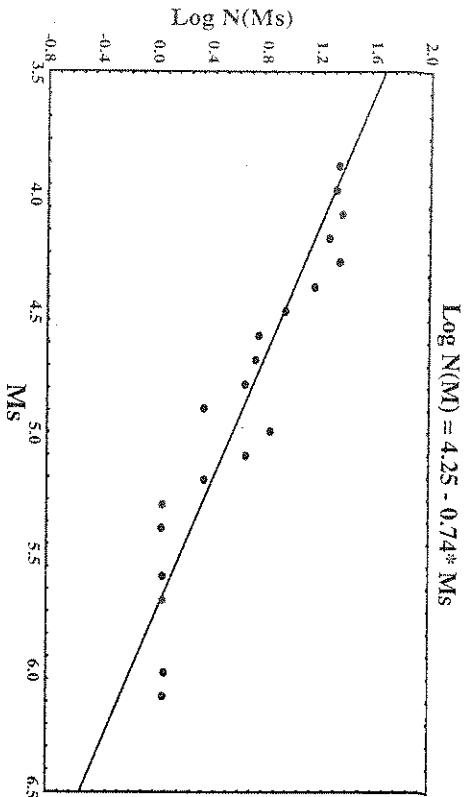
لفرض وضع تصور لدرجة تكامل تسجيل الهزات الأرضية في المنطقة ، بات (1981) . أخذ في الاعتبار دراسة علاقة تكرارات الهزات الأرضية المفردة ( $N_c$ )  $M_s$  من المقدار  $M_s$  بدلاً من التكرارات المتجمعة  $N_c M_s$  من المقدار أكبر من أو

تساوي  $M_s$  . الشكل (2) يوضح علاقة التردد المفردة ، و معادلة الانحدار ابتداء من المقدار  $M_s = 3.8$  و تساوي :

$$\log N_c(M_s) = 4.25 - 0.74 M_s \quad (3)$$

## تقدير القيم العظمى للمقادير الهزات الأرضية .....

و إن معامل التحديد يساوى 0.84 حيث تتضح العلاقة الخطية في النموذجين مما يعبر عن تكامل الملف الزلزالي ابتداء من  $M_s = 3.8$  في المنطقة الجغرافية خلال فترة الدراسة من المعادلة (1) نستطيع التنبؤ إن أكبر مقدار لهزة أرضية يمكن حدوثها خلال 40 سنة لا يتجاوز  $a/b = 6.1$  وهذه القيمة تتفق و مقدار أقصى هزة أرضية تم تسجيلها خلال فترة 40 سنة الماضية و التي تمثل فترة الدراسة.



شكل رقم (2) علاقة تكرارات الهزات الأرضية المفردة بالمقدار الزلزالي.

### 4- إحصاءات القيم القصوى :

يكلابل وكوو (1974) أوضح أنه إذا كانت الفترة الزمنية طويلة بما فيه الكفاية فإن مقدار الهزات الأرضية السنوية القصوى في منطقة جغرافية معينة يتبع توزيع جيبسل. إذا تم تحديد الهزات الأرضية السنوية القصوى من الملف الزلزالي قسيد الدرس فإن الإحصاءة المرتبة لمقدار الهزات الأرضية القصوى

$$M_{(1)} < M_{(2)} < M_{(3)} < \dots < M_{(n)}$$

وإن دالة التوزيع التحريبية للإحصاءة المرتبة من الرتبة  $i^{th}$  تساوى :

$$P_i(M_s) = i/(n+1) \quad (4)$$

جبل (1958) توصل إلى ثلاثة توزيعات تقاربية للقيم القصوى كل منها ينشأ عن

مجموعة من التوزيعات الاحتمالية. النوع الأول  $G_I$  ينشأ عن التوزيعات غير المحددة والتي تمتلك جميع العزوم والنوع الثاني  $G_{II}$  ينشأ عن التوزيعات غير المحددة والتي لا تمتلك بعض أو جميع العزوم. بينما النوع الثالث  $G_{III}$  ينشأ عن التوزيعات المحددة.

إن توزيع القيم القصوى من النوع الأول يعبر عنه بالعلاقة:

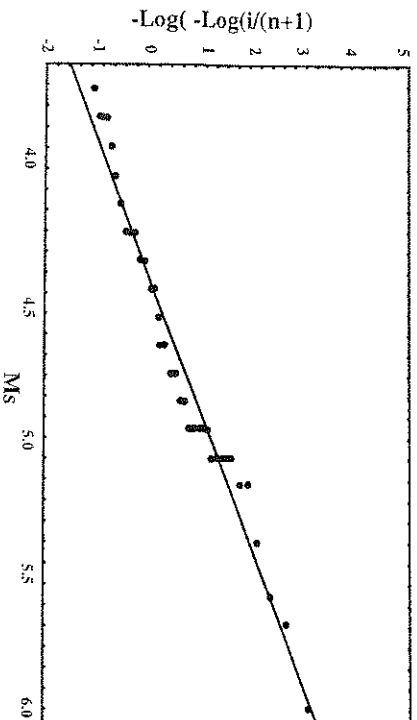
$$G_I(M_S) = \text{EXP}(-\text{EXP}(-\alpha(M_S - \beta))) \quad (5)$$

حيث  $\alpha$  و  $\beta$  معالم التوزيع ويتم تقديرها بإحدى طرق التقدير. ومن هذه الطرق طريقة المربعات الصغرى و طريقة الأرجحية العظمى. و حيث إن طريقة الأرجحية العظمى أعطت نتائج جيدة في دراسة الهزات الأرضية القصوى على مستوى الكرة الأرضية وعلى مستوى مناطق مختلفة من الكرة الأرضية (انظر كجكو 1984 و العباسي و فهمي 1991) فإن الباحثين استخدموا طريقة الأرجحية العظمى لتقدير معالم توزيع جهيل الأول. (هناك مصادر أخرى لتطبيق طريقة الأرجحية العظمى في تقدير معاملات توزيع جهيل بالإمكان الرجوع إليها).

المعادلة (6) تبين تقديرات الأرجحية العظمى لتوزيع جهيل لمقادير الهزات الأرضية القصوى لمطلة الدراسة خلال الفترة 1960 - 2000.

$$G_I(M_S) = \text{EXP}(-\text{EXP}(-2.016(M_S - 4.469))) \quad (6)$$

$$-\text{Log}(-\text{Log}(i/(n+1))=2.017*(M_S-4.469))$$



شكل رقم (3) توزيع جهيل لمقادير الهزات الأرضية القصوى في منطقة الدراسة.

### 5- جودة التوفيق والتبؤ الإحصائي:

مسألة جودة التوفيق تتعلق باختيار الفرضية الصفرية. إن عينة من المشاهدات تتبع توزيعاً معيناً مقابل الفرضية البديلة التي تقترض توزيعاً آخرًا. وباستخدام اختبار كولو كروف - سيمرنوف وحد إن قيمة الإختبار تساوي 0.142 وهي أقل من قيمة كولو كروف - سيمرنوف الجدولية لمستوى معنوية 0.05 وحجم عينة 40، لذلك تم قبول فرضية أن الهزات الأرضية القصوى للسياسيا خلال الفترة 1960 - 2000 تتبع توزيع جميل الأول. معلمتي  $\alpha = 2.016$  و  $\beta = 4.469$ .

إن متوسط عدد السنوات الكافية لحداث زلزال واحد من المقدمار  $M_s$  أو فترة عودة حدوث الزلزال يمكن تقديرها باستخدام العلاقة:

$$T(M_s) = 1/(1 - F(M_s)) \quad (7)$$

باستخدام معادلة (7) وتوزيع جميل في المعادلة (6) تم تقدير الفترات السنوية المطلوبة لحداث زلزال من المقدمار  $M_s$  في منطقة الدراسة و الجدول رقم (1) يبين النتائج التي تم التوصل إليها.

جدول رقم (1) متوسط الفترات الزمنية الكافية لحداث زلزال من المقدمار ( $M_s <$ )

مقدار الزلزال ( $M_s$ )	4.0	4.5	5.0	5.5	6.0
فترة الحدوث ( $T$ ) سنة	1.1	1.6	3.4	9.8	22.4

إن احتمال حدوث زلزال من المقدمار  $M_s$  خلال فترة الدراسة  $T$  سنة  $R_{T(M_s)}$  يحسب حسابها باستخدام العلاقة:

$$R_{T(M_s)} = 1 - \text{EXP}(-T^* \alpha (M_s - \beta)) \quad (8)$$

و بالتل فإن احتمال حدوث زلزال من المقدمار  $M_s$  خلال فترة تصميمية مقدمارها

$D \leq T$ ) RD سنة D (D يتم حسابه باستخدام العلاقة):

$$RD(Ms) = 1 - \text{EXP}(-\text{EXP}(-D^* \alpha(Ms - \beta))) \quad (9)$$

ومن العلاقاتين (8) و (9) نحصل على العلاقة:

$$RD(Ms) = 1 - \text{EXP}(D/T \ln(1 - R)) \quad (10)$$

تم حساب مخاطر حدوث الزلازل من المقدار  $M_s$  و إلى فترات تصميمية  $D$  مختلفة في منطقة الدراسة . و الجدول رقم (2) يبين النتائج .

جدول رقم (2) مخاطر حدوث زلازل من المقدار ( $M_s <$ ) لفترات تصميمية مختلفة .

الفترة التصميمية D سنة		مقدار الزلازل التصميمي $M_s$	
40	20	10	
1.00	1.00	0.96	4.5
1.00	0.85	0.91	5.0
0.79	0.69	0.58	5.5
0.42	0.28	0.20	6.0

6- الخاتمة:

في هذا البحث وضعنا الخطوط الأساسية لتقدير مخاطر حدوث الزلازل في ليبيا من خلال استخدام نظرية القيم القصوى . و علاقة مقدار الزلازل بتكرار حدوثه . و تبين ملاءمة استخدام هذين الأسلوبين من خلال دقة التنبؤات و الاختبارات الإحصائية.

المصادر:

- 1- Al Abbasi, J.N.& Fahmi K.J, 1991, GEMPAK.A fortran-77 program for calculating Gumbel's distribution employing maximum likelihood estimation.
- 2- Bath, M., 1981, Earthquake magnitude -recent research

- and Current trends, Earth. Sci. Rev. 17, 315-398.
- 3- Burton, F. W. 1999, Seismic risk in southern Europe through to India examined using Gumbel's distributions of extreme values, Geophysics. J. R. astr. Soc. 59, 249-280.
  - 4- Fahmi K. J. & Al Abbasi, J. N., 1990, Application of mixture distribution of extreme values to earthquakes magnitudes in Iraq, Geophys. Jour., Int., 107, 209-217.
  - 5- Gumbel, E. 1958. Statistics of extremes. Columbia University Press.
  - 6- Gutenberg, R. & Richter, C. F., 1954, seismicity of the earth and associated phenomena, Princeton University Press.
  - 7- Kijko, A., 1984. Is it necessary to construct empirical distribution of maximum earthquake magnitudes? , Bull Seism. Soc. Am. 74, 339-347.
  - 8- McGonigle, R. & Burton, P., W., 1982, Maximum likelihood. An alternative approach to Gumbel II parameter estimation?, Inst. Geol. Sci. GSURep, No. 170, 14pp.
  - 9- Norrduist, J. M., 1945. Theory of largest values applied to earthquake magnitudes Trans. Am. geophys Un., 26, 29-31.
  - 10- Yegulalp, T., M. Kuo, J. T., 1974. Statistical prediction of the occurrence of maximum magnitude earthquakes, Bull. seism. Am., 64, 393-414.